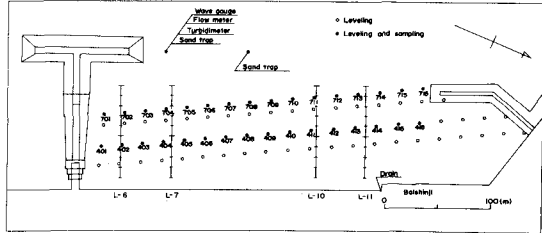


東洋建設(株) 正員 安井祐輝
 爱媛大学工学部 正員 布沼忠男
 爱媛大学工学部 正員 伊福誠

1. はじめに 沿岸海域の開発を余儀なくされて、今日構造物築造に伴う周辺海域への影響を適確に把握する必要があると思われるが、海浜変形の基礎的資料としては現地観測結果が不足しているのが現状である。二ヶ月前から本研究は水準測量、底質の採取、浮遊砂の採取および波浪観測などの現地観測に基づいて海浜の変形過程を明らかにするとともに、現地海浜の特性を考慮して one line theory によるパラメトリック解析を行った。

2. 観測方法 水準測量: 図-1に示すように岸沖方向および沿岸方向の測線を設定し、岸沖方向については大潮付近の干潮時に月1回程度、沿岸方向については1983年11月5日に水準測量を実施した。底質の採取: 岸沖方向については1982年12月10日、1983年7月14日および11月5日に各測線上で10m毎に、沿岸方向については1983.



年5月14日にSt. 701~715, 11月5日にSt. 701~716および

図-1 福津寺海岸概略図

St. 601~616において表層から約3cmの深さまで底質を採取した。波浪の観測: 図-1に示した地点で1982年9月25日に約5時間波浪観測を行った。浮遊砂の採取: T型梁堤の構堤の北約36mの地点で1982年9月24日から9月26日まで約40時間、福津寺海岸の中央部冲合約120mの地点で1983年2月1日から2月5日まで約110時間観測を行った。また観測期間中の平均水深は、当該地、1.55mおよび1.92mである。

3. 解析結果 海浜断面: 約2年間行った水準測量の結果から福津寺海岸で侵食傾向が顕著にはるかに5月頃であり、約1年周期での傾向がみられる。また海浜北部のL-11付近では大きな変化はみられず平衡状態に達しているのではないかと思われる。底質粒径: 採取した底質は網目の大きさ 9.52, 4.76, 2.00, 0.84, 0.42, 0.25, 0.105 および 0.074mm の標準ふるいを用いて粒度分析を行い、中央粒径および調査度（標準偏差）を求めた。一般にシルトや粒径の小さい砂粒子は運動軌跡として沈降速度に大きく影響を受け浮遊形態が卓越していくものと思われる。図-2は水温25℃の場合の鶴見(1972)による沈降速度が1cm/sec変化した場合の粒径の変化量 Δd を示したものである。この図をみると、底質の中央粒径が構成粒子の粒度組成により決定されるに従うと、中央粒径が0.1mmおよび1mmの不連続点附近にある場合、粒径の変化量 Δd は両範囲の影響を受けたために点線のように見えるものと思われる。すなわち中央粒径が不連続点附近にある場合、中央粒径が小さくほど粒径の変化量 Δd は小さくなり調査度が良くなることになる。

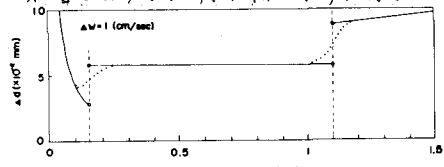


図-2 沈降速度が変化した場合の粒径の変化量

図-3は中央粒径と調査度の関係を示したもので白丸は布沼(1961)が福岡大洲海岸で観測したもので黒丸は福津寺海岸のものである。この図をみると中央粒径が0.126~0.25mmの範囲では中央粒径が小さくほど調査度良好となり、0.25~0.5mmの範囲では中央粒径と調査度の関係はほとんど一定であることがわかる。このことは前述した図-2の結果をよく説明しており福津寺海岸の底質は沈降速度の影響を受ける浮遊形態が卓越して輸送されるものと想われる。

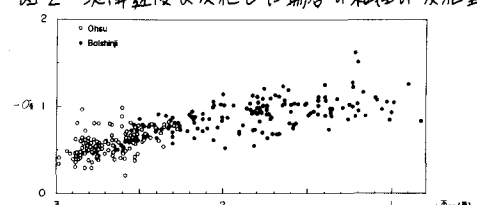
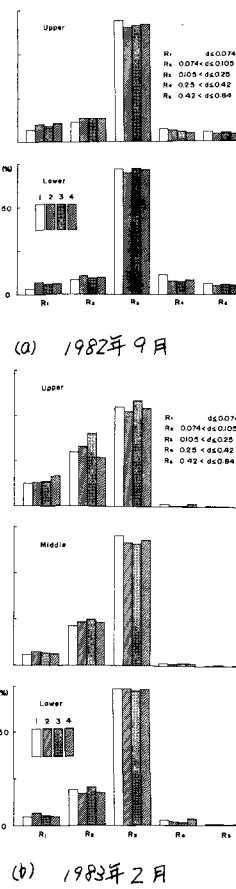


図-4(a)および(b)は、当該地、1982年9月の海底より0.85m以

図-3 中央粒径と調査度の関係

0.64m および、1983年2月の海底より 0.76m, 0.58m と 0.30m の高さで採取した浮遊砂の方向別の各粒径の重量百分率を示したもので、図中の 1, 2, 3 および 4 は、それぞれ、沖、南、岸および北側で採取したものである。すなわち、1982年9月の場合は台風通過後にあたり25日の観測期間中の有義波高は0.71m程度で、1983年2月の場合は静穏時にあたり観測期間中のSMB法による有義波高の最高値は0.16m程度であった。(a)をみると、上部および下部とも粒径が0.105~0.25mmの砂の重量百分率が卓越し、沖側で採取した浮遊砂は他の3方向のそれに比べて粒径が0.105mm以下の砂とシルトの重量百分率は小さく、粒径が0.105~0.84mmの砂のは大きくなっている。このことは沖側で採取した浮遊砂は他の3方向のそれに比べて比較的粗い砂が多く含まれていることを示している。(b)をみると、上部、中間部および下部とも粒径が0.105~0.25mmの砂の重量百分率が卓越している。下粒径が0.25~0.84mmの砂の重量百分率は極めて小さく、いずれも5%未満である。これらから梅津寺海岸における浮遊砂は静穏時でも荒天時でも粒径が0.105~0.25mmの砂が卓越して浮遊していること、沖波の有義波高が0.16m程度の静穏時に下粒径0.25~0.84mmの比較的粗い砂はほとんど浮遊していないこと、下荒天時には岸に向って比較的粗い砂が運ばれることがわかる。one line theory: 小笠・Brampton (1979)によるモデルを用い、さらに海底摩擦係数、移動限界水深および岸冲漂砂量に補正を加え現地漂沙の再現を試みた。モデルは図-5に示すように沿岸方向に20m間隔で19のセクションに分割し、境界条件としてセクション1および19での沿岸漂砂量は0とした。すなわち初期状態および最終状態として、それらを、愛媛県の深浅測量(1983)から得た1983年1月23日および9月22日の汀線を採用した。入力データとしては観測地点の南約4.5kmの位置にある松山地方気象台松山空港の風向および風速のデータから SMB法によって推算して冲波の有義波高および有義波周期から屈折、回折および浅水効果を考慮して各セクション毎に、30日毎の碎波角および碎波高をもとめた。海底摩擦係数としては小笠らによる沿岸方向に波高分布がない場合の沿岸漂砂量式が Scripps eq. に等しい場合梅津寺海岸の平均海浜勾配が0.03であることをから得られた0.033 および後二者の著者(1983)が提案した式より30日毎にセクション1~19について求めた値を240日間で平均して0.1を用いた。移動限界水深としては初期移動限界水深および完全移動限界水深を用いた。岸冲漂砂量としては粒径をも考慮して野田・松原(1978)の岸冲漂砂量式を用い、式中の比例定数として 1×10^{-6} , 5×10^{-6} および 1×10^{-7} を用いて検討した。図-5は岸冲漂砂量式の比例定数を 5×10^{-6} としたもので Case 8 および Case 5 は移動限界水深と海底摩擦係数を、金山ら(1983)による完全移動限界水深と0.033としたものである。この図をみると、两者とも現地汀線とよく一致しているが、また海岸堤防から汀線までの距離について、計算結果と現地汀線との相対誤差を調べると Case 8 の方が現地の汀線をよく再現しているようであった。すなわち計算結果と観測結果の断面を比較して結果両者の断面形状および海浜勾配が似ている場合には汀線の位置はよく一致している。これらのことはから one line theory による解析では、完全移動限界水深、後二者の著者が提案した式より求めた海底摩擦係数および野田らが提案した岸冲漂砂量式を用い式中の比例定数を 5×10^{-6} とすると現地汀線とよく一致するといえども、なぜか判らず。



(b) 1983年2月

図-4 浮遊砂の粒度組成

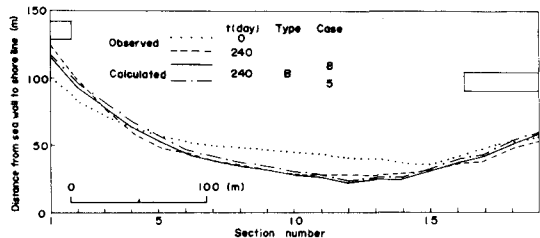


図-5 計算結果と現地汀線の比較

1~19について求めた値を240日間で平均して0.1を用いた。移動限界水深としては初期移動限界水深および完全移動限界水深を用いた。岸冲漂砂量としては粒径をも考慮して野田・松原(1978)の岸冲漂砂量式を用い、式中の比例定数として 1×10^{-6} , 5×10^{-6} および 1×10^{-7} を用いて検討した。図-5は岸冲漂砂量式の比例定数を 5×10^{-6} としたもので Case 8 および Case 5 は移動限界水深と海底摩擦係数を、金山ら(1983)による完全移動限界水深と0.033としたものである。この図をみると、两者とも現地汀線とよく一致しているが、また海岸堤防から汀線までの距離について、計算結果と現地汀線との相対誤差を調べると Case 8 の方が現地の汀線をよく再現しているようであった。すなわち計算結果と観測結果の断面を比較して結果両者の断面形状および海浜勾配が似ている場合には汀線の位置はよく一致している。これらのことはから one line theory による解析では、完全移動限界水深、後二者の著者が提案した式より求めた海底摩擦係数および野田らが提案した岸冲漂砂量式を用い式中の比例定数を 5×10^{-6} とすると現地汀線とよく一致するといえども、なぜか判らず。